

文章编号 :1009-038X(2000)02-0192-04

薄管螺旋槽成形加工旋压力计算方法^①

樊荣珍，杨裕国

(无锡轻工大学机械工程系，江苏无锡 214036)

摘要 研究了薄壁圆管螺旋槽旋压成形时力的计算方法,可为设计旋压成形设备、编制旋压工艺、设计旋压工夹具提供理论依据。采用自行设计的旋压部件,并测量旋轮承受的三向力,可以得出影响旋压力的主要因素,进行了正交回归试验,得出了槽深、壁厚与三向力的回归方程。

关键词 螺旋槽管, 旋压, 计算方法

中图分类号: TH123.4 文献标识码: A

Calculating Method for the Spiral-Fluted Tube's Spinning Force

FAN Rong-zhen, YANG Yu-guo

(Department of Mechanical Engineering, Wuxi University of Light Industry, Wuxi 214036)

Abstract: This paper studied the calculating method of the spiral-fluted tube's spinning force, which can provide basic theory for designing spinning shaping equipment, establishing spinning shaping technology and designing spinning tools. Using a set of spinning components are designed and measuring three-dimensional forces, it can conclude main factors influencing the spinning force. Through the regression experiment between groove depth, wall thickness and spinning, three equations are obtained.

Key words: spiral fluted tube; spinning; calculating method

薄壁圆管螺旋槽是在光管上加工出管外凹入、管内凸出的具有强化传热效率的连续螺纹,其主要结构参数有管径(d)、螺距(p)和槽深(h),见图1。

近年来,薄管螺旋槽已开始应用于动力、石油、化工、食品、低品位余热回收等行业的换热设备上。

螺旋槽的旋压成形,是在外力作用下的旋、挤、拉延成形,变形机理复杂,用试验来找出各工艺参数与旋压力的关系,是为以后进行塑性力学分析提供理论依据。本次试验是在普通车床上进行的。管前端用三爪卡盘夹紧,尾部用活动顶尖顶住并采用跟刀架支撑圆管后部与上部,以减小圆管的弯曲变

形,采用车削用的测力仪,把车床的车刀换成旋轮,这样就可进行旋压试验。其结构草图和受力分析如图2所示。

旋压时,圆管与旋轮之间存在着一对大小相等、方向相反的力:圆管的旋压力 P' (或称成形阻力)和旋轮受力 P 。 P 可分解为相互垂直的3个分力: P_x 、 P_y 、 P_z ,且有

$$P = \sqrt{P_x^2 + P_y^2 + P_z^2} \quad (1)$$

式中 P_x 、 P_y 、 P_z 分别为旋轮承受的轴向、径向和切向分力。 P_x 为与旋轮进给的方向相反且平行于

① 收稿日期: 1999-07-01; 修定日期: 1999-12-06。

作者简介 樊荣珍(1974年11月生)男,山西临县人,工学硕士。

万方数据

工作旋转轴线的作用力 P_y 为沿被加工工件半径且垂直于工件旋转轴线的作用力 P_z 为与被成形表面相切且在工件转速的矢量方向上的作用力.

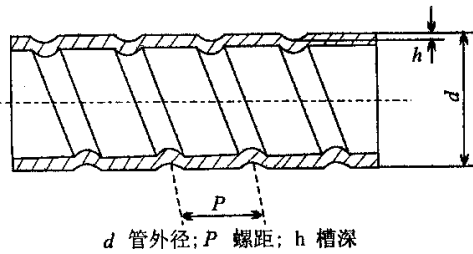
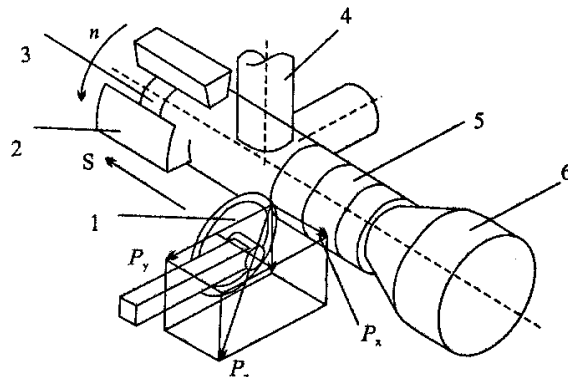


图 1 螺旋槽管

Fig.1 Spiral fluted tube



1 旋轮; 2 三爪卡盘; 3 芯模; 4 跟刀架; 5 圆管; 6 活动顶尖
n 机床主轴转速(r/min); S 进给方向; P_x , P_y , P_z 旋压承受的轴向、径向、切向压力

图 2 旋压设备和受力分析图

Fig.2 Spining equipment and suffering force analyse figure

1 回归方程的建立

据文献[1]影响旋压力的主要因素有:金属的机械性能(σ_b)、管径(d)、管壁厚(δ)、槽深(h)、导程(p)、旋轮圆角半径(r)和主轴转速(n),即旋压力可用下式表示:

$$P = f(\sigma_b, d, \delta, h, p, r, n) \quad (2)$$

试验表明,径向旋压力 P_y 远大于垂直旋压力 P_z 和轴向旋压力 P_x . P_x , P_y , P_z 与各因素的关系类似,其变化趋势相同,因此重点介绍如何获得径向力 P_y 与各工艺因素关系数据的回归方法. 同理可得 P_x , P_z 与各工艺因素的关系.

试验还表明^[2,3],影响旋压力的主要因素是壁厚 δ 和槽深 h ,所以求回归方程忽略其它因素对旋压力的影响,只考虑壁厚和槽深两个因素. 假设 P_x , P_y , P_z 与 δ , h 成如下关系:

$$\text{万方数据 } P_x = C_x \delta^{M_x} h^{N_x}$$

$$P_y = C_y \delta^{M_y} h^{N_y}$$

$$P_z = C_z \delta^{M_z} h^{N_z}$$

试验中材料为不锈钢管,直径 $d=25$ mm,导程

$p=10$ mm,旋轮圆角半径 $r=1.5$ mm,转速 $n=16$ r/min. 壁厚的三水平分别为:0.6 mm, 0.8 mm, 1.0 mm. 槽深的三水平分别为:1.0 mm, 2.0 mm, 3.0 mm. 按正交表 $L_9(3^4)$ 安排试验,但要对原方程进行适当处理,下面以 P_y 的回归为例,介绍 P_x , P_y , P_z 的回归过程.

对于 P_y 的方程 $P_y = C_y \delta^{M_y} h^{N_y}$,两边取对数得

$$\lg P_y = \lg C_y + M_y \lg \delta + N_y \lg h.$$

为了简化计算,可作坐标变换,即进行编码,设

$$x_1 = \frac{\chi \lg \delta - \lg 1.0}{\lg 1.0 - \lg 0.6} + 1.$$

当 $\delta=1.0$ 时, $x_1=1$; 当 $\delta=0.6$ 时, $x_1=-1$; 当 $x_1=0$ 时,计算得 $\delta \approx 0.775$. 又设

$$x_2 = \frac{\chi \lg h - \lg 3.0}{\lg 3.0 - \lg 1.0} + 1$$

当 $h=3.0$ 时, $x_2=1$; 当 $h=1.0$ 时, $x_2=-1$; 当 $x_2=0$ 时,计算得 $h \approx 1.732$.

利用编码公式,原方程变为 $y' = b_0 + b_1 x_1 + b_2 x_2$. 式中,设 $y' = \lg P_y$,且由于 $x_1 \neq \delta$, $x_2 \neq h$,所以 b_0 , b_1 , b_2 分别不等于 $\lg C_y$, M_y , N_y . 其中 b_0 , b_1 , b_2 为待求的系数.

试验结果及数据处理^[4,5]见表 1. 可知

$l_{11} = l_{22} = 6$, $l_{ij} = 0$ ($i \neq j$), $l_{1y}' = 1.460$, $l_{2y}' = 0.74$. 所以正规方程组为

$$\begin{cases} 6 \times b_1 = 1.460 \\ 6 \times b_2 = 0.74 \end{cases}$$

解得 $b_1 = 0.243$, $b_2 = 0.123$, $b_0 = \bar{y}' = 17.577/9 = 1.953$. 所以回归方程为

$$\hat{y}' = 1.953 + 0.243x_1 + 0.123x_2.$$

所以 $\lg P_y = 1.953 + 0.243 \left(\frac{\chi \lg \delta - \lg 1.0}{\lg 1.0 - \lg 0.6} + 1 \right) +$

$$0.123 \left(\frac{\chi \lg h - \lg 3.0}{\lg 3.0 - \lg 1.0} + 1 \right) =$$

$$2.073 + 2.191 \times \lg \delta + 0.516 \times \lg h$$

$$P_y = 118.304 \delta^{2.191} h^{0.516} \quad (3)$$

检验显著性:

$$l_{yy}' = 34.844 - 9 \times 1.953^2 = 0.516,$$

$$U = b_1 \times l_{1y}' + b_2 \times l_{2y}' = 2.243 \times 1.460 + 0.123 \times 0.74 = 0.446,$$

$$R = \sqrt{\frac{U}{l_{yy}'}} = \sqrt{\frac{0.446}{0.516}} = 0.930.$$

对 $\alpha = 0.05$, $N_1 = 2$, $N_2 = 6$, 查 F 分布表得 $F_a = 5.14$, 所以

$$R_a = \sqrt{\frac{mF_a}{n-m-1+mF_a}} = \sqrt{\frac{2 \times 5.14}{6+2 \times 5.14}} = 0.795$$

因为 $R > R_a$, 所以回归效果显著.

用同样的方法, 回归得其它两个方向的旋压力分别为:

$$\text{轴向旋压力 } P_x = 19.231\delta^{2.101} h^{0.574} \quad (4)$$

$$\text{垂向旋压力 } P_z = 84.528\delta^{2.082} h^{0.285} \quad (5)$$

表 1 P_y 回归测定数据与处理结果

Tab. 1 P_y regression measuring data and handling results

试验号	$x_1(\delta)$	$x_2(h)$	信号高度/mm	P_y/kg	$y' = \lg P_y$	$x_1 y'$	$x_2 y'$	y'^2
1	-1	-1	15.0	31.695	1.501	-1.501	-1.501	2.253
2	-1	0	21.5	45.430	1.657	-1.657	0	2.746
3	-1	1	29.0	61.277	1.787	-1.787	1.787	3.193
4	0	-1	43.0	90.859	1.958	0	-1.958	3.384
5	0	0	57.0	120.441	2.081	0	0	4.331
6	0	1	73.0	154.249	2.188	0	2.188	4.787
7	1	-1	49.0	103.537	2.015	2.015	-2.015	4.060
8	1	0	67.0	141.571	2.151	2.151	0	4.627
9	1	1	82.0	173.266	2.239	2.239	2.239	5.013
Σ				922.325	17.577	1.460	0.74	34.844

注: 信号高度是指函数记录仪在坐标纸上标出的高度(mm).

2 弯矩、扭矩和功率的计算

已知分力 P_x , P_y 和 P_z , 则易求出在不同方式旋压时的弯矩、扭矩和功率. 在被加工工件的变形源上, 作用着 P_x' , P_y' , P_z' 力, 其大小与 P_x , P_y , P_z 力相等而方向相反(见图 3).

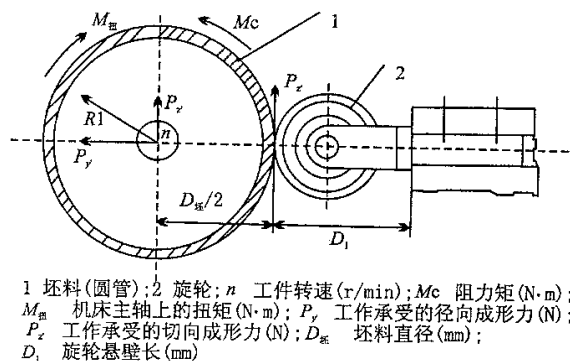


图 3 作用在工件和旋轮上的力和力矩

Fig. 3 Acting force and moment on parts and spinning wheel

将两个大小相等、方向相反的力 P_z' 移到工件的中心, 便获得一对力, 从而建立旋转运动的阻力矩.

$$M_c = P_z' D_{\text{坯}} / 2 \quad (6)$$

此外, P_z' 力与 P_y' 力将使工件产生弯曲, 总弯

曲力 R_1 可由下式求得:

$$R_1 = \sqrt{P_z'^2 + P_y'^2}.$$

P_z' 力使工件压向机床的床头箱, 并产生弯曲力矩.

$$M_{\text{弯}P_x} = P_z' D_{\text{坯}} / 2$$

为使旋压过程得以进行, 必须在工件的旋转方向施加扭矩 $M_{\text{扭}}$, 其值应大于阻力 M_c , 或者在极端情况下等于 M_c . $M_{\text{扭}} \geq M_c$.

$M_{\text{扭}}$ 也可用旋压时所消耗的功率(有效功率)来计算:

$$M_{\text{扭}} = 9.549 N_{\text{旋}} / n \quad (7)$$

式中, $M_{\text{扭}}$ 为机床主轴的扭矩(N·m); $N_{\text{旋}}$ 为机床主轴的旋压功率(kW); n 为工件的转速(r/min).

$N_{\text{旋}}$ 可用克服 P_x , P_y , P_z 力所需功率之和求得.

$$N_{\text{旋}} = N_{P_x} + N_{P_y} + N_{P_z} \quad (8)$$

$$N_{P_x} = \frac{P_x V_x}{60 \times 1000},$$

$$N_{P_y} = \frac{P_y V_y}{60 \times 1000},$$

$$N_{P_z} = \frac{P_z V_z}{60 \times 1000}.$$

式中: $V_x = S_{\text{纵}} \cdot n$, 为纵向移动速度(mm/min); $V_y = S_{\text{横}} \cdot n$, 为横向移动速度(mm/min); $V_z = \pi D_{\text{坯}} n / 1000$.

1 000 ,为在变形源上的工件旋转速度($\mu\text{m}/\text{min}$);
 $D_{\text{坯}}$ 为坯料直径(mm).

对旋压过程必须计算的机床电机的功率 ,可以
 下式求 :

$$N_{\text{电机}} = N_{\text{旋}} / \eta.$$

式中 : $N_{\text{电机}}$ —— 电机功率 ; η —— 机床的传动效率 ,
 $\eta = 0.8 \sim 0.85$.

3 结 论

1) 初步分析了薄壁圆管螺旋槽旋压成形时的
 旋压力与各工艺因素的关系 ,得知径向旋压力明显

大于其它两个方向的力 ,是主要的成形阻力 ;

2) 经过回归分析 ,导出了薄壁圆管螺旋槽旋压
 成形时各个方向的力与壁厚(δ)、槽深(h)的计算方
 程 :

$$P_x = 19.231 \delta^{2.101} h^{1.574},$$

$$P_y = 118.304 \delta^{2.191} h^{0.516},$$

$$P_z = 84.528 \delta^{2.082} h^{0.285}.$$

3) 文中介绍的旋压力计算方程及旋压力与各
 工艺因素的关系 ,可用于设计旋压成形设备或工夹
 具 .

参考文献

- [1] 李良福. 旋压拉深工艺研究 [J]. 五金科技 ,1995(2):13~17
- [2] 樊荣珍 ,杨裕国. 薄壁圆管螺旋槽旋压成形工艺研究 [J]. 五金科技 ,1996(2):13~15
- [3] 樊荣珍 ,杨裕国 ,李良福. 薄壁管螺旋槽的旋压工艺研究 [J]. 金属成形工艺 ,1996(1):17~19
- [4] 项可风 ,吴启光. 试验设计与数据分析 [M]. 上海 :上海科学技术出版社 ,1989.
- [5] 汤勇 ,张发英. 挤压 - 犁削处翅片钢管加工机理的研究 [J]. 工具技术 ,1997(1):7~10

(责任编辑 :秦和平)